

III-62 不飽和土における近似的 ϕ' の決め方について

信州大学工学部 正員 川上 浩
 長野高専 正員 峰村信雄
 信州大学大学院 学生員 ○阿部 広史

1. 概説 アースダム上流側斜面において、施工時には不飽和な状態であるが、施工後長期の安定を考える際には飽和状態に達している。かかる場合のせん断常数決定の近似的方法として、飽和土ではほぼ $C' = 0$ であることおよび飽和度90%以上ではサクションによる粒子間応力増分の影響が少ないことに着目して、不飽和土の崩壊空気圧の測定値のみから ϕ' を求める方法を示した。¹⁾ その後さらに東京工大試料として行なった実験の結果を示し、かなり問題のある点を明らかにする。

2. 不飽和土における C' , ϕ' の決め方 現在不飽和土の C' , ϕ' を求める最も確実な方法は、back pressureにより試料を完全に飽和させ、飽和土の試験を行なうことであろう。しかし飽和度が低い場合には Lowe²⁾の示した back press. でもかなりの高圧になり、高压三軸室・恒圧装置など特殊な装置を必要とすることになる。水王浸透させて飽和度を高めその後 back press. を作用させるという手段によらざるを得ないが、かなりの試験時間を必要とすることになる。Bishop³⁾が不飽和土の有効応力式 $\tau' = (\sigma - u_a) + \chi(u_a - u_w)$ ————— (1)

を示し實際にも不飽和土と飽和土の破壊包絡線が一致するとの仮定のもとにパラメータ χ を決定している。Jennings⁴⁾が不飽和土を吸水させて(1)式の2項のサクションを解放し、 ϕ' を減じた場合にも膨張を生ぜず不飽和土が収縮することを示していることから、(1)式による応力が飽和土で用ひられてくる有効応力原理にそろ有効応力を示すと考えることにはまだ問題があろう。しかし不飽和土の粒子間応力は(1)式の外的荷重による項と(2)式のサクションによる項とに分けて、両者による粒子間応力を考えて行く⁵⁾ことには異論はない。

飽和土としての試験を行なわずに不飽和土のみの試験を行なって C' , ϕ' を求める方法には Blight の方法がある。説明の都合上(1)式の2項を $P_T = \chi(u_a - u_w)$ とおきサクションによる粒子間応力を P_T とする。一般に不飽和土の崩壊空気圧のみを用いて $\tau'' = \sigma - u_a$ によりベクトルカーブを画けば、図-1のB線のごとき破壊包絡線をうる。C線は(1)式に沿う破壊包絡線とする。Blight はB線上の点(1)と(2)を通るA線を仮想の破壊包絡線とする。

$$\begin{aligned} \tau_{(1)} &= C' + [(\sigma - u_a)_{(1)} + \bar{\chi}(u_a - u_w)_{(1)}] \tan \phi' \\ \tau_{(2)} &= C' + [(\sigma - u_a)_{(2)} + \bar{\chi}(u_a - u_w)_{(2)}] \tan \phi' \end{aligned} \quad (2)$$

となることより、 $C' = 0$ とおいて両者の平均約 χ を求めている。Blight が行なった $u_a - u_w = \text{const.}$ の試験、あるいは(1)と(2)の間隔を充分小さくすれば $\bar{\chi}(u_a - u_w)_{(1)} = \bar{\chi}(u_a - u_w)_{(2)} = P_T$ と考えられる。この場合には、計算により非まる P_T の値は(1)と(2)を通るA線のx軸上の切

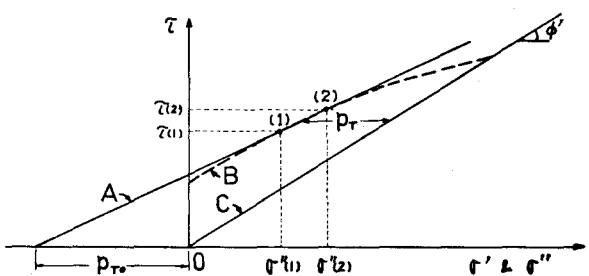


図-1

片の大きさ P_0 正半めることになり、A線がC線と平行である場合を除いては、すべて過大あるいは過小なる P_f の値を与えることになる。すなわち半めんとする P_f の値の代りに図-1に P_0 と示したものがえられるに至る。一方、C線に平行な部分において P_f を半めの場合にも、 $\Gamma'' = \Gamma - u_a$ として半めた破壊包絡線上に沿うよう直形の応力軌跡のみで封じられて、破壊後応力軌跡が包絡線上から離れるような場合には適用できない。このような場合には、 $(\Gamma_0 - u_a)$ がわざかに異なる2つの供試体から得られた破壊包絡線上の点を(1)と(2)の状態として正半めねばならぬ。なお P_f の精度を増すためには(1)と(2)の間隔をできるだけ狭くとらなければならぬが、その場合わざかに測定誤差を P_f の値に大きく影響し、変動が大きくなる。以上より、この方法は不飽和土のみの試験から得がまき、 ϕ' ・ C' 正半めることができないが、(1)と(2)の点の離びがたが非常に難いものと考えられる。

3. 近似的 ϕ' の求め方 そこで我々は面積を圧力として水压が支配的となり $P_f \approx 0$ となる $S_r = 100 \sim 90\%$ の範囲における下限、 $S_r = 90\%$ となる点Qを不飽和土の破壊包絡線上に半め、 $C' = 0$ と仮定して、原点と点Qを結んで近似的 ϕ' を求めていこう。すなわちボイル・ヘンリーの法則から

$$u_a = P_0 \left\{ \frac{1 - S_p(1 - H)}{1 - S_p(1 - H)} - 1 \right\} \quad (3)$$

が与えられるが、 $S_p = 90\%$ として 90% 饱和に必要な面積を空気圧の値を半める。また各実験の破壊時の面積を空気圧 u_a と直応力 $\Gamma'' = \Gamma - u_a$ の関係をプロットする。この関係を直線的変化とみなして外挿法により先の u_{aq} に相当する Γ''_q を半めることができ(図-3)。そして $\Gamma'' = \Gamma - u_a$ を用いて画いたベクトルカーブにとり $\Gamma'' = \Gamma''_q$ の破壊包絡線上の点Qを半める(図-5)。このQ点と原点を結ぶ近似的 ϕ' を求める。

4. 実験結果 今回の実験における面積を空気圧は図-2のごとく2カ所で測定している。1つは供試体上端においてガラスセニブを介して小型圧力計により測定し、またもう1つは下端面においてプラスチックディスクにφ1mm長さ20mmの穴で4カ所あけこの部分を空気貯留部として、管路の水と供試体との直接的接觸をさけ、通常のヌルインジケーターにより圧力を測定している。両者の測定結果は飽和度が低い場合には($S_r = 80\%$ 以下)、殆んど一致しているが飽和度の高い場合には破壊近くは、 $2 \sim 0.05 \text{ kg/cm}^2$ 程度下端のヌルインジケーターによる方が大きくなっている。しかし(今回の整理はすべて小型圧力計による測定値を用いている)。

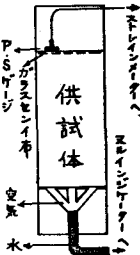


図-2

実験には埼玉県大宮近郊の鶴東ローム($LL = 126$, $PI = 66$)を用いている。飽和度の影響を明確にするため、供試体はできるだけ同じ密度になるよう配慮し、含水比を 66% ~ 84% まで 5段階変えて非排水試験を行なっている。その一覧表を表-1 に示す。まず各系列による全応力破壊包絡線を示すと図-4 の通りで、飽和度に応じて変化を示し典型的な不飽和土の包絡線であることがわかる。 $\Gamma'' = \Gamma - u_a$ を用いて画いたベクトルカーブは図-5, 6, 7 に示すような曲線となる。なお図-8

系 列	I	II	III	IV	V
乾燥密度 γ_d kg/m^3	0.656	0.654	0.644	0.646	0.652
初期飽和度	77.0	82.9	88.1	93.3	98.0
平均含水比	66.3	71.1	74.1	79.7	83.8
ϕ'' $^{\circ}$	38°10'	37°20'	36°50'	35°50'	32°00'
C'' %	0.18	0.20	0.20	0.10	0.14
補正 ϕ'	39°40'	39°50'	40°00'	40°00'	40°00'

表-1

において、黒丸印で示したベクトルカーブは試験後下部より吸水していったことが判明した試料である。

これらは1つの破壊包絡線を形づくつが、サクションによる粒子間応力を考慮しない見掛けの常数を与えるものである。参考として c'' , ϕ'' として示してある。破壊時の u_a と σ'' との関係を各系列とも図示する(図-3)がえられる。II, III系列ではばらついており、これらの直線を引くことはIV系列正除いてかなり困難であるが大胆に直線を引いて示した。この直線により、(3)式より得られる90%飽和に必要な u_a 時の σ'' を求める。この σ'' により図-5, 6, 7においてそれぞれQ真を求めている。このQ真用いて得られる補正中は各系列とも40°近くになっていて、この結果は表-1にまとめて示されている。

この値を飽和土の結果と比較するため飽和土の圧密非排水試験を行なった結果を図-8に示す。不飽和土として実験を行なったのと同じ試料は、試料が不足になり、黒丸で示された供試体1本しか行ないえなかつた。白丸印の試料は再び同一地盤と思われる場所から採取してき下ものであるが、 $LL=138$, $PI=38$ と変わつてベクトルカーブとしても異な、左傾向を示している。そこで ϕ' は1本の供試体だけで推定したが、参考として白丸印による値も示してある。これらの結果を表-1の補正 ϕ' と比較するとかなりよく一致していることが認められる。

以上の図示したもののが問題に

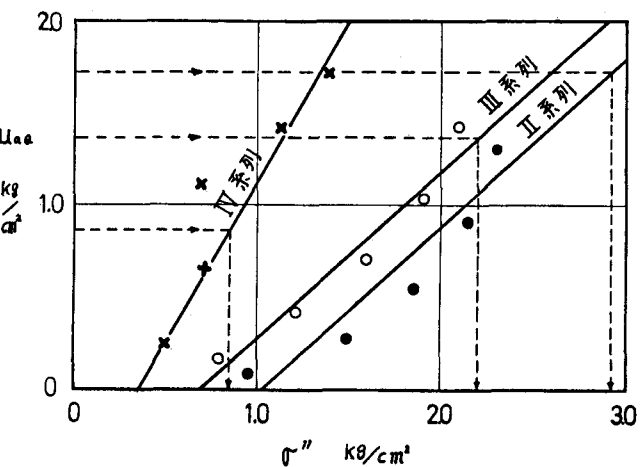


図 - 3

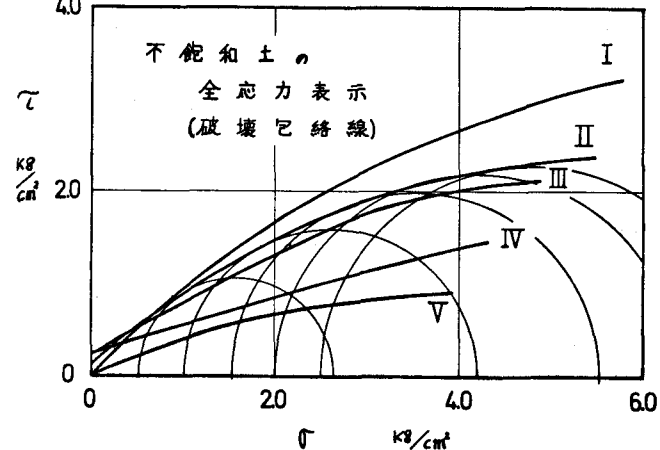


図 - 4

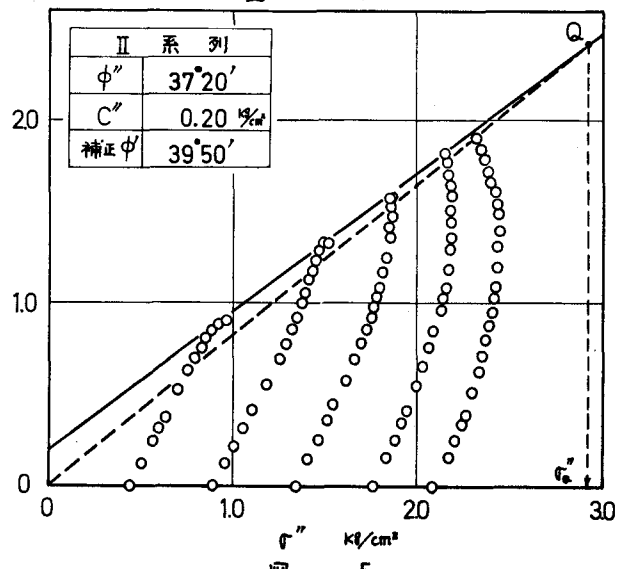


図 - 5

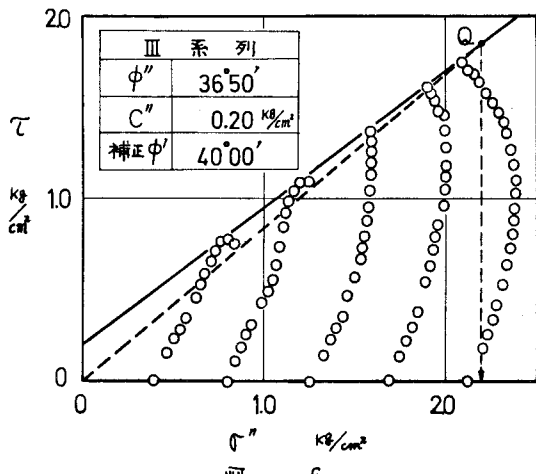


図 - 6

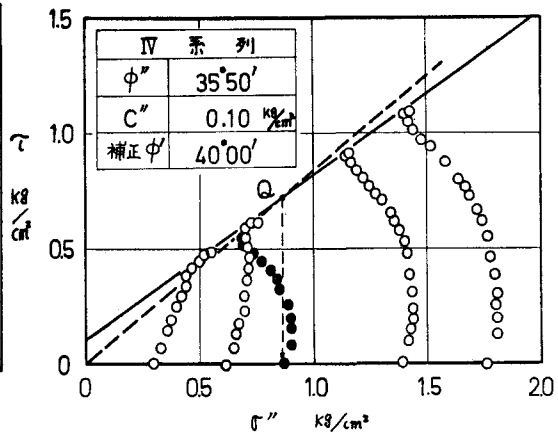


図 - 7

なうのは、まず図-7のかなり飽和度の高い例の場合、Qより右側に少くともベクトルカーブが図中の破線上にのらないことである。Qより右側ではすでに飽和度は90%以上に達し、飽和土と同様に破壊線を形成するものと考えているが、この不一致は前述の崩壊空気圧が飽和度の高い部分で、圧力計ヒヌルイニジケーターにより値が略々違つてからにも関連して、崩壊圧の測定に問題があるのではないかと考えている。

次に図-3のⅡ系列、Ⅲ系列の表のばらつきである。前述のとく大胆な直線を引いてあるが、これらはむしろ曲線と考えうるばらつきである。かかる大胆な直線にとかかわらず表-1の結果がまとまっているのは、図-5、6、7等におけるQ表が多少移動しても補正 ϕ' の値にあまり影響しないことによう。図-3については飽和度と崩壊してとの意味を調べていかねばならぬと考えている。

5. 結び 実用的な意味では崩壊空気圧を測定した不飽和度の試験から近似的な ϕ' を推定することはでき、その値は飽和土の結果とよく一致して、これが南東ロード試料とした場合にも認められた。しかし飽和度の高い場合の崩壊空気圧の測定、 σ' と破壊時の U_a の関係のばらつきに問題があり今後検討して行かなければならぬと考えている。

- [参考文献]
- 1) 川上清・峰村信雄“不飽和粘土の強度について”第4回土質工学会研究発表会 1969年6月。
 - 2) J.Lowe and T.C.Johnson "Use of back pressure to increase degree of saturation of triaxial test specimens" Proc. of Research Conf. on Shear Strength of Cohesive Soils, P819-836, 1960.
 - 3) A.W.Bishop "The measurement of pore pressure in the triaxial test" Pore Pressure and Suction in Soils, p58, 1960.
 - 4) J.E.B.Jennings and J.B.Burland "Limitations to the use of effective stresses in partly saturated soils" Geotechnique 12-2. p125-144, 1962.
 - 5) L.Barden,A.O.Madedor and G.R.Sides "Volume change characteristics of unsaturated clay" Proc.ASCE, SMI, p33-51, 1969.

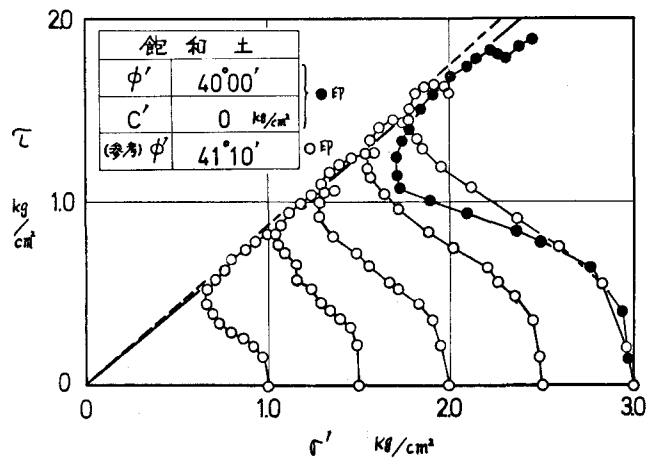


図 - 8